



Generalitat de Catalunya
Departament de Cultura
Direcció General del Patrimoni Cultural
Servei de Suport Tècnic i Inventari
Biblioteca del Patrimoni Cultural

3524

Excavació al Polígon industrial Can Roqueta II

Paloma Aliende García



Avis legal

Aquesta obra està subjecta a una llicència Reconeixement-NoComercial-SenseObresDerivades 2.5 de Creative Commons. Se'n permet la reproducció, distribució i comunicació pública sempre que se'n citi el titular dels drets i no se'n faci un ús comercial. No es pot alterar, modificar o generar una obra derivada a partir d'aquesta obra. La llicència completa es pot consultar a <http://creativecommons.org/licenses/by-nc-sa/2.5/es/legalcode.ca>.

ÍNDEX

	pàgs.
1. INTRODUCCIÓ	2
2. SITUACIÓ	4
3. CONTEXT GEOLÒGIC REGIONAL	
3.1. ORIGEN DE LA DEPRESSIÓ DEL VALLÈS-PENEDÈS	5
3.2. ESTRATIGRAFIA	6
3.3. ESTRUCTURA	9
4. GEOLOGIA LOCAL	10
5. L'EXCAVACIÓ D'URGÈNCIA	
5.1. METODOLOGIA	15
5.2. RESULTATS	16
5.3. SISTEMÀTICA	20
5.4. INCIDÈNCIES	21
6. RESUM I CONCLUSIONS	23
7. BIBLIOGRAFIA	25
8. ANNEX: PLÀNOLS	27
9. ANNEX: INVENTARI	30
10. ANNEX: FOTOGRAFIES	43
11. ANNEX: JACIMENTS PALEONTOLÒGICS	
10.1 EL JACIMENT DE CAN LLOBATERES	48
10.2 ALTRES JACIMENTS I TROBALLE	49
12. ANNEX: RECULL DE PREMSA	51

1. INTRODUCCIÓ

Entre els mesos de setembre de 1999 i juny de 2000 s'ha dut a terme un seguiment paleontològic de la construcció del polígon industrial de Can Roqueta II, pertanyent al terme municipal de Sabadell.

S'ha realitzat aquest seguiment per la proximitat de l'àrea afectada al jaciment de Can Llobateres així com a d'altres localitats properes d'interès paleontològic (veure 11. Annex: jaciments paleontològics).

Els treballs han consistit en el control dels moviments de terres que afectaven sediments terciaris (veure 8. Annex: plànols). A part d'alguns fragments aïllats un primer conjunt de restes de va ser detectat al llarg de la segona quinzena del mes de desembre de 1999 durant l'obertura del carrer nº10, prop de la seva intersecció amb el carrer nº2.

Una segona concentració de restes de vertebrats va ser descoberta el dia vint-i-u de febrer de 2000 prop de la cruïlla dels carrers nº3 i nº10 durant els treballs de buidat de la parcel·la nº6. Donada la importància dels indicis es va optar per aturar l'execució del desmunt i una primera avaluació apuntà la necessitat d'abordar una **excavació d'urgència** que ha permès extreure més de trescentes peces (veure 9. Annex: inventari).

La campanya d'urgència de la parcel·la nº6 es va donar per finalitzada el dia vuit de juny i el seguiment finalitzà el dia tretze de juliol. Les restes recuperades al llarg de la intervenció paleontològica en el polígon han estat dipositades a l'*Institut de Paleontologia M. Crusafont*.

El *Museu d'Història de Sabadell* s'ha encarregat de la coordinació administrativa dels treballs, el desenvolupament dels quals ha estat finançat per la *Junta de Compensació de Can Roqueta II* i facilitat en tot moment pels Srs. Toni Miranda i Juan Martínez (*Servial*).

La direcció de l'excavació l'han dut a terme els que signen aquest document comptant amb els corresponents permisos del *Servei d'Arqueologia del Departament de Cultura (Generalitat de Catalunya)*.

En els treballs de camp hi ha participat Dolors Ferrés, Rodrigo Gaete, Lluís Gibert, Miquel Martí, M^a Jesús Pérez, Joan Piera, i Roser Pou.

2. SITUACIÓ

Els terrenys en que ha estat efectuada la intervenció urbanística objecte del seguiment paleontològic al que fem aquí referència estan situats al sud-est de la població de Sabadell, tocant al polígon industrial de Can Roqueta (figura 1).

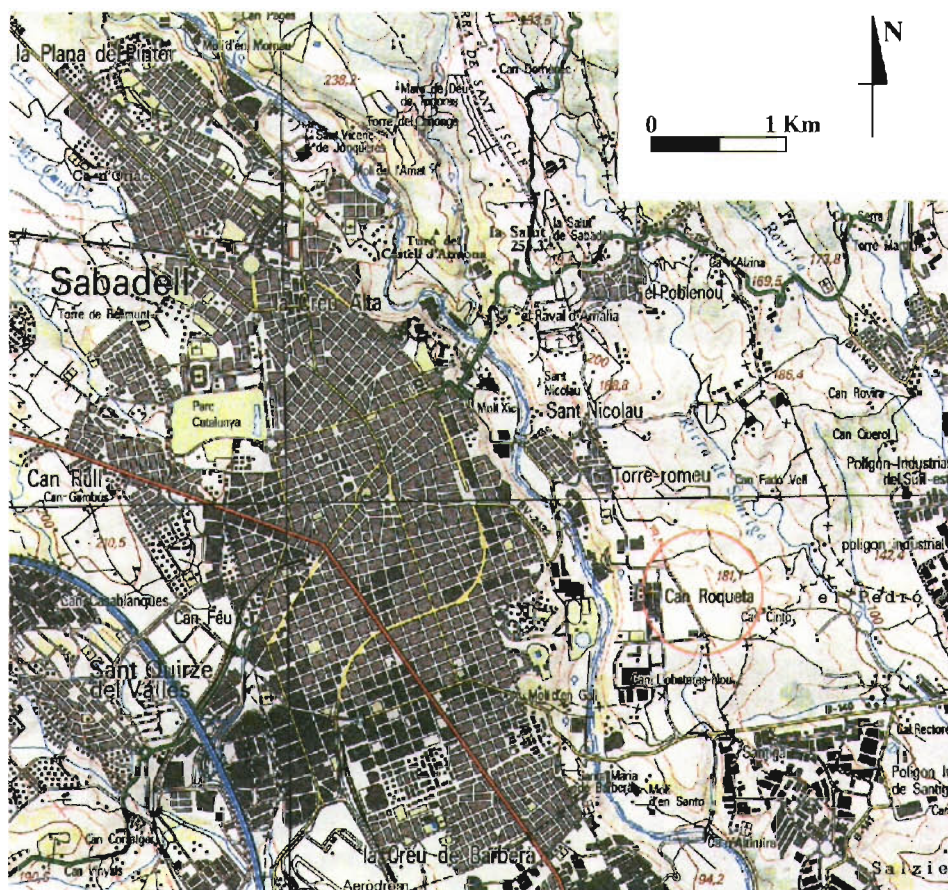


Figura 1 – Situació del P.I. Can Roqueta II.

3. CONTEXT GEOLÒGIC REGIONAL

3.1. ORIGEN DE LA DEPRESSIÓ DEL VALLÈS-PENEDÈS

Segons Guimerà et al. (1992) en el període comprès entre les darreries del Cretaci i el Miocè inferior es desenvolupà l'anomenat Sistema Alpí mediterrani com a conseqüència de l'apropament de les plaques euroasiàtica i africana i dels moviments d'altres plaques menors, com la placa ibèrica. A l'extrem occidental de la Mediterrània formen part d'aquest sistema orogènic la Serralada Bètica, la Serralada Ibèrica i els Pirineus.

Entre l'Oligocè superior i el Miocè inferior s'encetà una etapa distensiva que afectà inicialment l'àrea compresa entre l'extrem oriental dels Pirineus i la Serralada Ibèrica, per assolir durant el Miocè mitjà i el superior la Serralada Bètica. Fou en aquesta època quan es desenvolupà la conca Catalano-balear, al sector catalano-valencià del marge occidental de la qual es troba la Depressió del Vallès-Penedès.

Aquesta estructura d'uns 100 km de longitud i una amplada màxima de 14 km està limitada per falles normals de direcció aproximada NE-SW, mentre que d'altres fractures la tallen transversalment com la del Llobregat. El límit nordoccidental està definit per la falla del Vallès-Penedès, que en alguns sectors té un salt màxim d'uns quatre quilòmetres. Quant al límit sudoriental, aquest està constituït per un conjunt de blocs esglaonats que s'enfonsen progressivament en estar separats per falles de salt molt menor a l'anterior.

3.2. ESTRATIGRAFIA

El reompliment sedimentari de la depressió està constituït principalment per materials miocens, de caràcter eminentment continental al Vallès, per damunt dels quals hi ha dipòsits quaternaris. S'hi ha diferenciat cinc unitats deposicionals (Agustí et. al., 1985), a saber:

- Unitat de bretxes basals (Aquitanià (?)-Burdigalià)
- Complex continental inferior (Miocè inferior)
- Complex marí i de transició (Burdigalià superior-Languià)
- Complex continental superior (Astaracià-Turolià)
- Unitat continental pliocena (Ruscinià)

Garcés (1995) exposa amb detall la successió estratigràfica del Vallès Occidental distingint en el que anomena Complexos continentals superiors (Aragonià mig-Turolià?/Langhià-Tortonià) quatre unitats deposicionals:

- Sistema del ventall d'Olesa-Les Fonts
- Sistema de ventalls de Terrassa-Viladecavalls
- Sistema de ventalls de Castellar del Vallès
- Sistema de ventalls de Sentmenat

Aquest mateix autor adjunta un mapa geològic (figura 2) que sintetitza la informació procedent de fonts diverses. Es pot apreciar que a la zona objecte d'estudi es troba les lutites, bretxes i conglomerats del ventall de Castellar del Vallès per sota dels sediments quaternaris superficials.

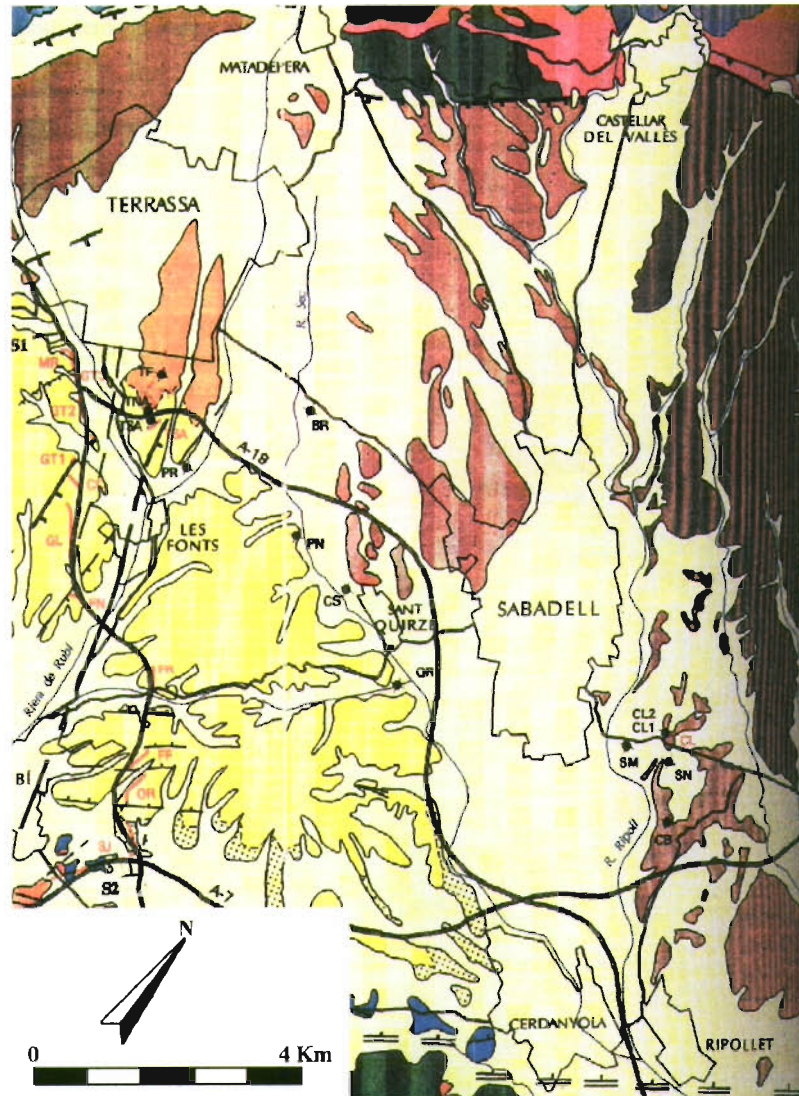
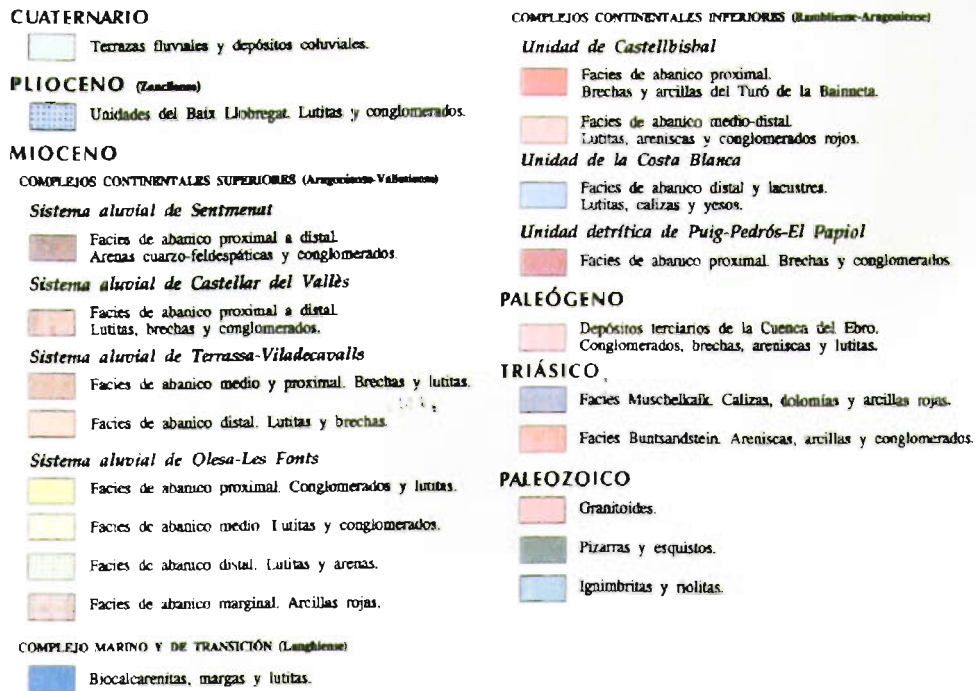


Figura 2a - Part del mapa geològic de síntesi de Garcés, 1995.



Principals localitats de vertebrats fòssils: BR; Can Barba, CB; Castell de Barberà, CL1; **Can Llobateres 1, CL2; Can Llobateres 2**, CS; Casablanca, CV; Ceràmiques Viladecavalls, MM; San Mamet, MS; Can Missert, PN; Can Ponsic, PR; Can Perellada, QR; Sant Quirze, SM; Can Simeó, SÑ; Santiga, TF; Torrent de Febulines, TNA; Talús nord autopista, TSA; talús sud autopista, VK7; Viladecavalls P.Q. 7.

Perfils magnetoestratigràfics (vermell): CC; Creu de Conill, CL; **Can Llobateres**, CR; Can Coromines, CV; Ceràmiques Viladecavalls, FF; Font del Ferro, FN; Can Fonollet, FR; Can Ferran, GL; **Can Guiera**, GT1; Can Guitart 1, GT2; Can Guitart 2, GT3; Can Guitart 3, LT; La Tarumba, MR; Les Martines, OR; Can Oriol, SJ; Can Santjoan, TF; Torrent de Febulines, TR; Can Tarumbot, TSA; talús sud autopista.

Figura 2b - Llegendra del mapa de la pàgina anterior.

Segons Colombo (1989) els ventalls al·luvials són cossos sedimentaris caracteritzats per tenir la morfologia d'un conus projectat sobre un pla, semblant a la dels deltes i els ventalls submarins, i estar formats per materials dipositats en condicions subaèries en medis sedimentaris continentals. Els processos sedimentaris responsables de la seva formació són diversos i hi poden participar tant fluxos aquosos tractius com fluxos gravitatoris que generen una gran varietat de fàcies.

Garcés (1995) exposa que el ventall de Castellar del Vallès procedeix de l'erosió dels materials ígnis i metamòrfics de la Serralada Prelitoral, resultant bretxes i conglomerats bretxoides polimíctics en els que predominen els clastes paleozoics tot i que també s'hi observa elements derivats de l'erosió del Triàsic, això és sorrenques del Bundsandstein i calcàries del Muschelkalk.

3.3. ESTRUCTURA

Segons Garcés (1995) el Vallès Occidental està limitat per les dues falles principals del sòcol del Vallès i de Rubí, d'orientació general NE-SW. Aquesta última té un salt d'uns 1.000 metres, tot i ser inferior al de la falla del Vallès, i en bona part està recoberta per dipòsits del Miocè inferior que en dificulten el seu reconeixement.

Alguns autors han posat de manifest que altres fractures d'orientacions diverses afecten el reompliment de la depressió. A partir d'un estudi estructural del Vallès Occidental Garcés (1995) distingeix diferents blocs.

4. GEOLOGIA LOCAL

S'exposa tres columnes estratigràfiques i llur correlació (figura 3) realitzades al turó en el que es trobava la concentració de restes i en dos punts propers, el que aquí anomenem turons Est i del punt d'aigua.

1. Turó amb concentració d'ossos. Total: 0.8 m. De base a sostre:

* 40 a 45 cm d'argiles de color verd on apareixen la major part dels ossos. Sorra fina amb concentracions de còdols mil·limètrics a centimètrics intercalats. A la base hi ha un nivell d'argiles vermelles. S'hi pot distingir 3 nivells, a saber:

a. 20 cm de sorres fines a sorres mitjanes molt compactades que formen una matriu que engloba grans dispersos de 0,1 a 0,5 mm de diàmetre.

b. 8 cm de sorres mitjanes a molt fines que contenen codolets dispersos, més abundants que a l'anterior, de 0,1 a 1 cm de diàmetre i englobats en la matriu. Dintre de la capa s'observen petits canalets que s'atasconen lateralment.

c. 20 cm de capa argilosa, molt homogènia que al sostre presenta un nivell carbonatat (veta). Color marró fosc a verd més intens que als dos nivells precedents. En ocasions el verd apareix en forma de taques de reducció.

* 20 a 25 cm de sorres fines a sorres mitjanes de color marró. La meitat superior presenta vetes de color blanc (8 cm). S'hi pot distingir dos nivells tot i que és una capa molt homogènia.

a. 15 cm d'argiles de color marró amb taques negres molt homogènies. No s'observen còdols.

b. 5 cm d'una capa igual que la anterior però carbonatada. Abundants vetes o motejat de color blanc.

* de 10 a 22 cm de sorres fines a sorres mitjanes. Canalet de sorres de fines a mitjes poc compactades. A la base presenta grans de major mida (de 2 mm a 1 cm) de color negre i blanc, alguns de color rosat, d'origen igni i metamòrfic. Base erosiva. S'hi pot distingir, de base a sostre, almenys dos nivells.

a. sorres mitjanes o grolleres abundants en còdols de mides mil·limètriques fins a 1 cm. La composició d'aquests còdols és diversa i n'hi ha de metamòrfics, granitoids, etc. Presenta base erosiva. Canaliforme.

b. sorres mitjanes a fines que també presenten còdols de característiques similars als que es troben al nivell anterior però molt més dispersos i amb una matriu menys compactada.

2. Turó Est. Total: 1.10 m. Es reconeix el contacte amb les argiles vermelles de la base. De base a sostre:

* 50 cm de sorra fina. Argiles verdes amb color més intens que a la primera sèrie. Motejats blanquinosos i taques negres allargades de reducció. S'observa codolets dispersos d'aproximadament 1 mm de diàmetre inclosos a la matriu argilosa a la part intermitja de la capa. A la part inferior els còdols són més abundants i poden arribar als 2 o 3 mm i, ocasionalment, a 1 cm.

* 30 cm de sorres fines a sorres mitjanes. És més potent que a la primera sèrie. Argiles de color marró molt homogènies. A la part superior apareix el bandejat blanc (carbonatat) d'uns 10 o 12 cm. A les argiles s'observen concentracions de codolets dispersos de diàmetre inferior a 3mm. No sembla que formin un nivell continu. A la base apareix un nivell blanc carbonatat de 3 a 5 mm que forma el contacte amb les argiles verdes. Podria ser el sostre de la capa anterior.

* 25 a 30 cm de sorres fines a mitjanes i grolleres. S'hi pot distingir 3 nivells:

a. 10 cm de sorres fines amb grans de sorres mitjanes i alguns còdols d'entre 1 i 2 mm. Granocreixent.

b. 12 cm de sorres mitjanes a grolleres. Grans inclosos en una matriu de sorra fina de colors blancs i foscos. Alguns dels còdols tenen entre 5mm i 1 cm.

c. 5 cm d'una capa amb característiques similars a la primera.

3. Turó del punt d'aigua. Total: 2.20 m. De base a sostre:

* mínim 40 cm (base indeterminada). Nivell d'argiles vermelles amb abundants còdols *mud-supported*. Els còdols són força rodats i tenen mides mil·limètriques fins a 2-3 cm. Certa granocreixença.

* 10 cm d'argiles vermelles sense còdols. És una transició al nivell suprajacent.

* 40 cm d'argiles a sorres molt fines. Són argiles verdes que, aparentment, s'atasconen lateralment i presenten una transició a una capa més sorrenca de color marró – ocre amb motejat verd que inclou còdols molt petits (1 a 2 mm) *mud – supported*. Finalment passa a una capa argilosa similar a la capa de la base amb abundants vetes carbonatades.

* 30 cm molt homogenis de llims ocres amb abundants vetes carbonatades de color blanc.

* 70 cm de sorres molt fines a fines. És un nivell ocre de sorres, molt homogeni i més potent i homogeni que a les sèries anteriors. A la base s'observen codolets de 1 a 5 mm de diàmetre. En general, la base és mes grollera que la resta del nivell.

* 30 cm de remogut.

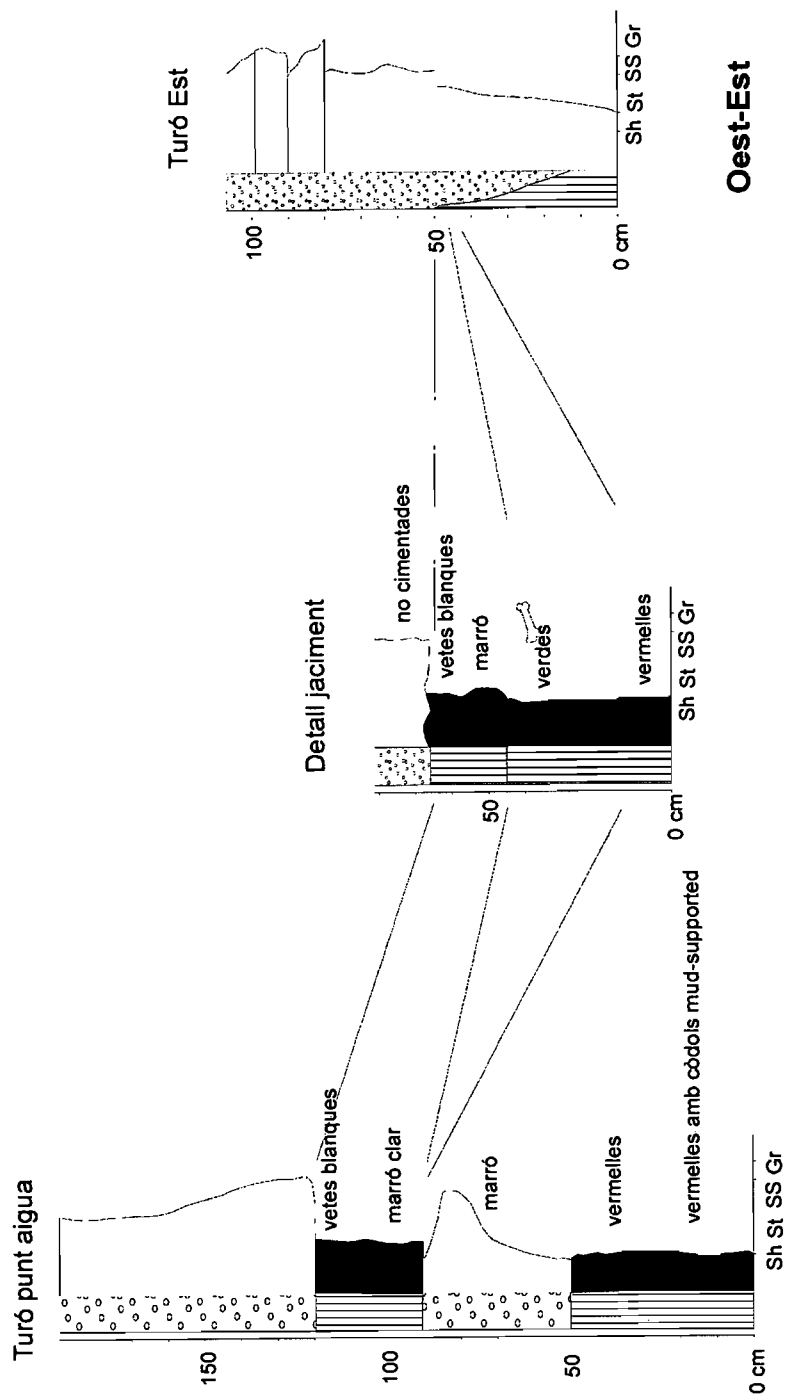


Figura 3 – Columnes estratigràfiques del jaciment.

Al carrer nº1, en un punt situat a poc menys d'un centenar de metres de la cruïlla amb el carrer nº11, s'ha recollit una mostra de sediment que segons el Dr. Agustí (*Institut de Paleontologia M. Crusafont*) ha lliurat *Hispanomys* sp., *Rotundomys* sp. (cfr. *montisrotundi*), Muridae indet. (cfr. *Progonomys* sp.), *Eomyops catalaunicus*, *Insectivora* indet. i *Lagomorpha* indet. Aquests resultats permeten situar la mostra a la biozona MN10, probablement a la seva part alta, això és al Vallesità superior.

5. L'EXCAVACIÓ D'URGÈNCIA

5.1. METODOLOGIA

Els fòssils es trobaven en sediments de caràcter argilós per la qual cosa la seva extracció sovint es va dur a terme mitjançant bisturins.

Les peces es delimitaven i es deixava que restessin en superfície durant un temps prudencial per tal que en contacte amb l'aire perdessin part de la seva humitat. Això s'aprofitava per realitzar dibuixos, fotografies i registrar les seves coordenades.

La consolidació de les restes es dugué a terme mitjançant *Paraloid* dissolt al 5% en acetona. En alguns casos per facilitar la penetració del consolidant s'augmentava la proporció d'acetona.

Per garantir unes bones condicions d'extracció i transport de les restes la major part han estat protegides mitjançant embolcalls de guix o poliuretà expandit.

Els embolcalls de guix són d'una elaboració menys complexa i faciliten l'extracció de peces petites, especialment quan estan molt properes a d'altres peces i es volen extreure per separat. La utilització del poliuretà expandit és una tècnica molt generalitzada per efectuar l'extracció de restes de pes elevat que no podrien ser recuperades sense cap tipus de protecció.

El procés de realització dels embolcalls s'inicia delimitant i descalçant un bloc de terra que contingui la resta tot deixant el mínim volum de sediment possible sense que això arribi a afectar la integritat del fòssil.

Per protegir els òssos de l'acció directa del guix i el poliuretà es cobreix amb paper d'alumini tota la seva superfície. En el cas dels embolcalls de poliuretà s'elabora una carcassa de cartró per delimitar el volum extern total de l'embolcall.

El poliuretà expandit és una resina bicomponent de poiliol i isocianat que acostumen a barrejar-se en una proporció del 50% de volum segons indicacions del fabricant. Aquest compost té un comportament que pot veure's fortament afectat pels factors climàtics, costant-li reaccionar a temperatures baixes i activant-se amb una humitat alta.

Un cop iniciada l'activació de la barreja aquesta s'aboca pels laterals i per la part superior del bloc d'ossos i sediment, augmentant el seu volum mentre catalitza.

5.2. RESULTATS

Fins avui el jaciment de Can Roqueta II ha lliurat gairebé trescentes restes fòssils entre les que podem destacar les pertanyents a un parell d'individus de *Deinotherium sp.* (veure 9. Annex: inventari i 10. Annex: fotografies).

Pel que fa a restes cranials cal esmentar dos fragments de crani amb una sèrie dentària completa, una mandíbula, dues incisives (defenses) i diversos molars i premolars aïllats.

Quant a l'esquelet postcranial les troballes es poden resumir en dos atlas, diverses vèrtebres cervicals i toràciques, nombroses costelles, dues extremitats anteriors, una pelvis i tres extremitats posteriors parcialment completes.

Tot seguit es mostra una representació en planta general del jaciment, la qual ha estat elaborada a partir de les plantes i les coordenades registrades durant els treballs de camp (figura 4).

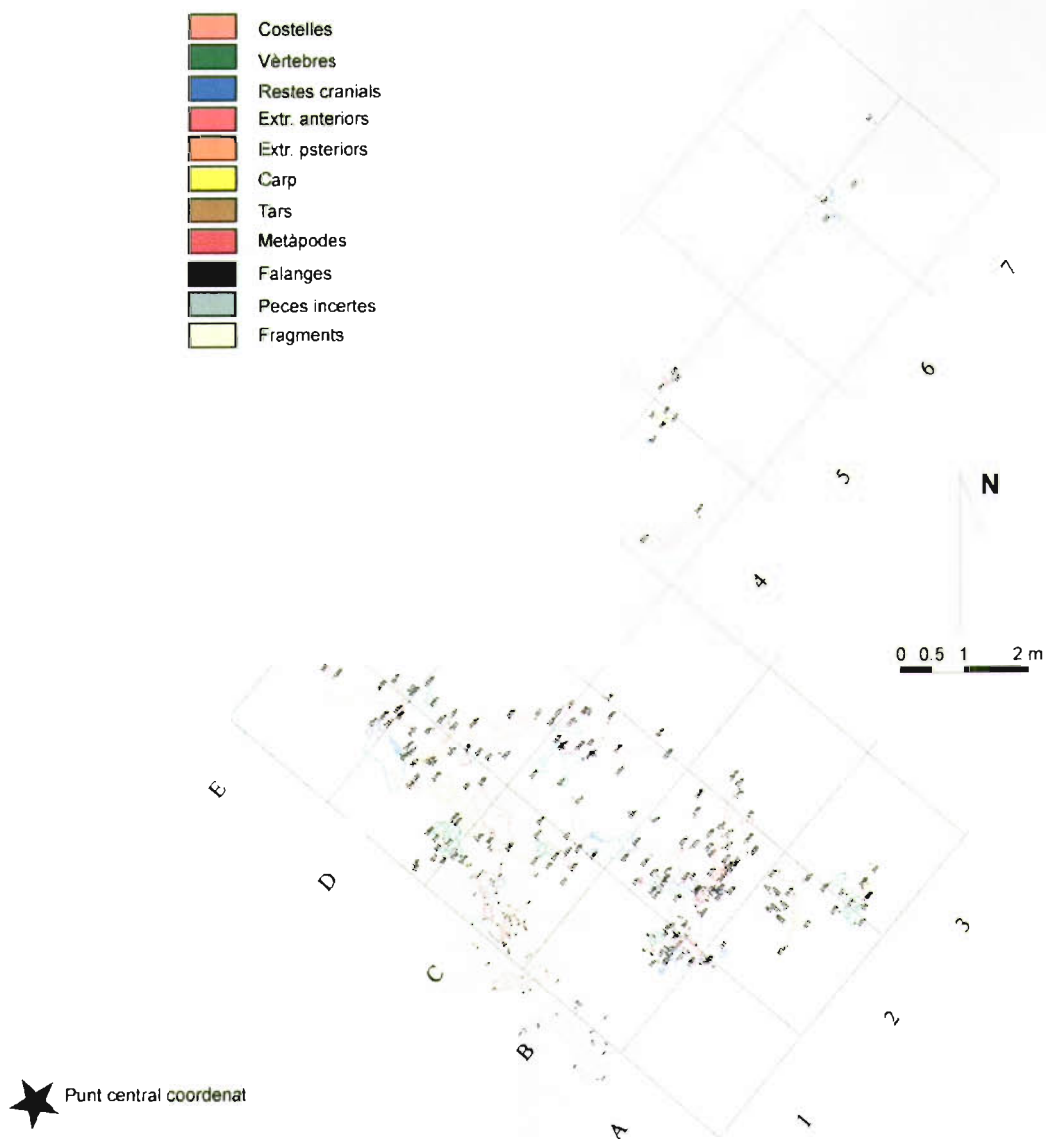


Figura 4 – Planta general del jaciment.

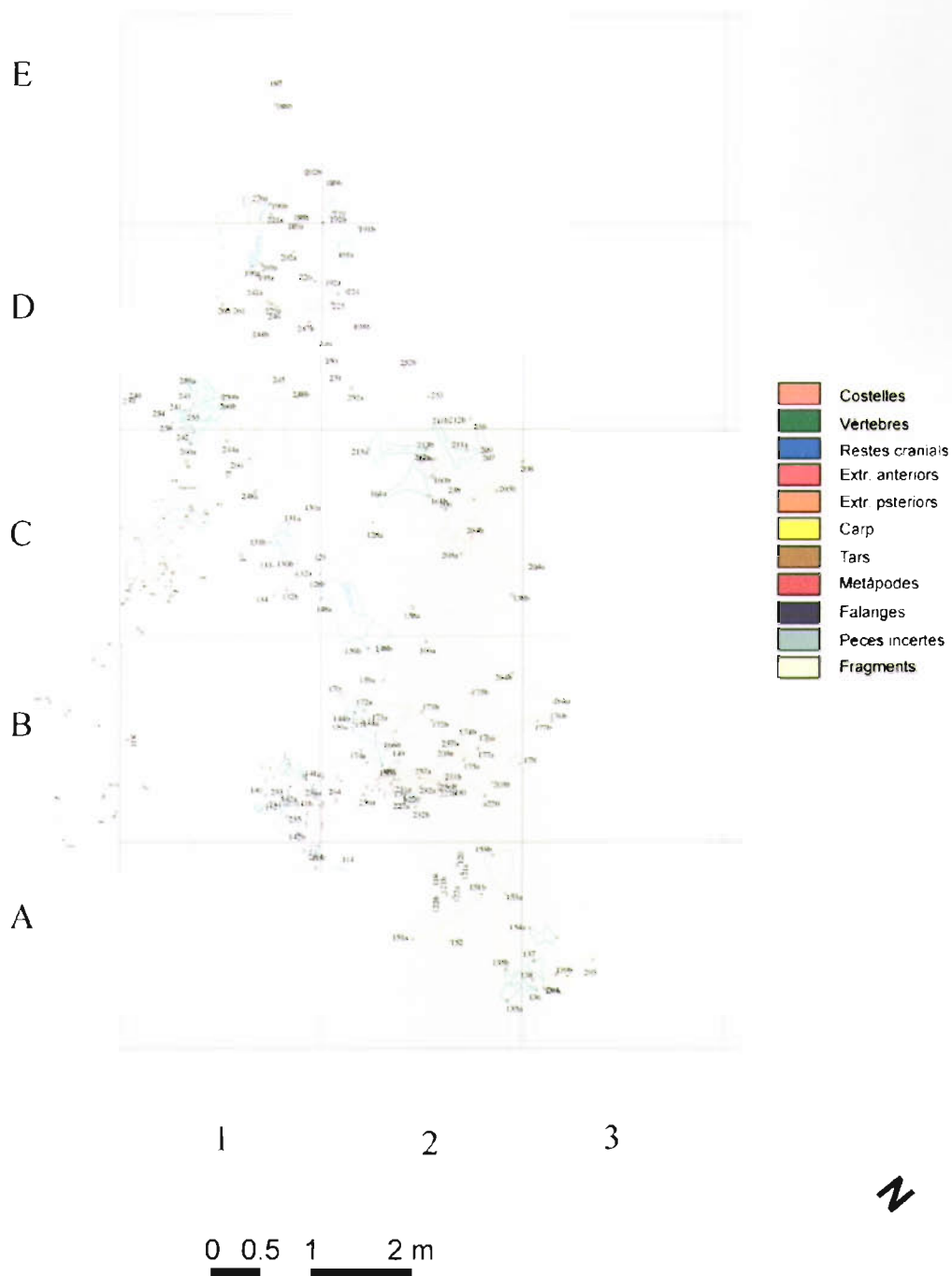


Figura 4b – Detall de la planta del jaciment.

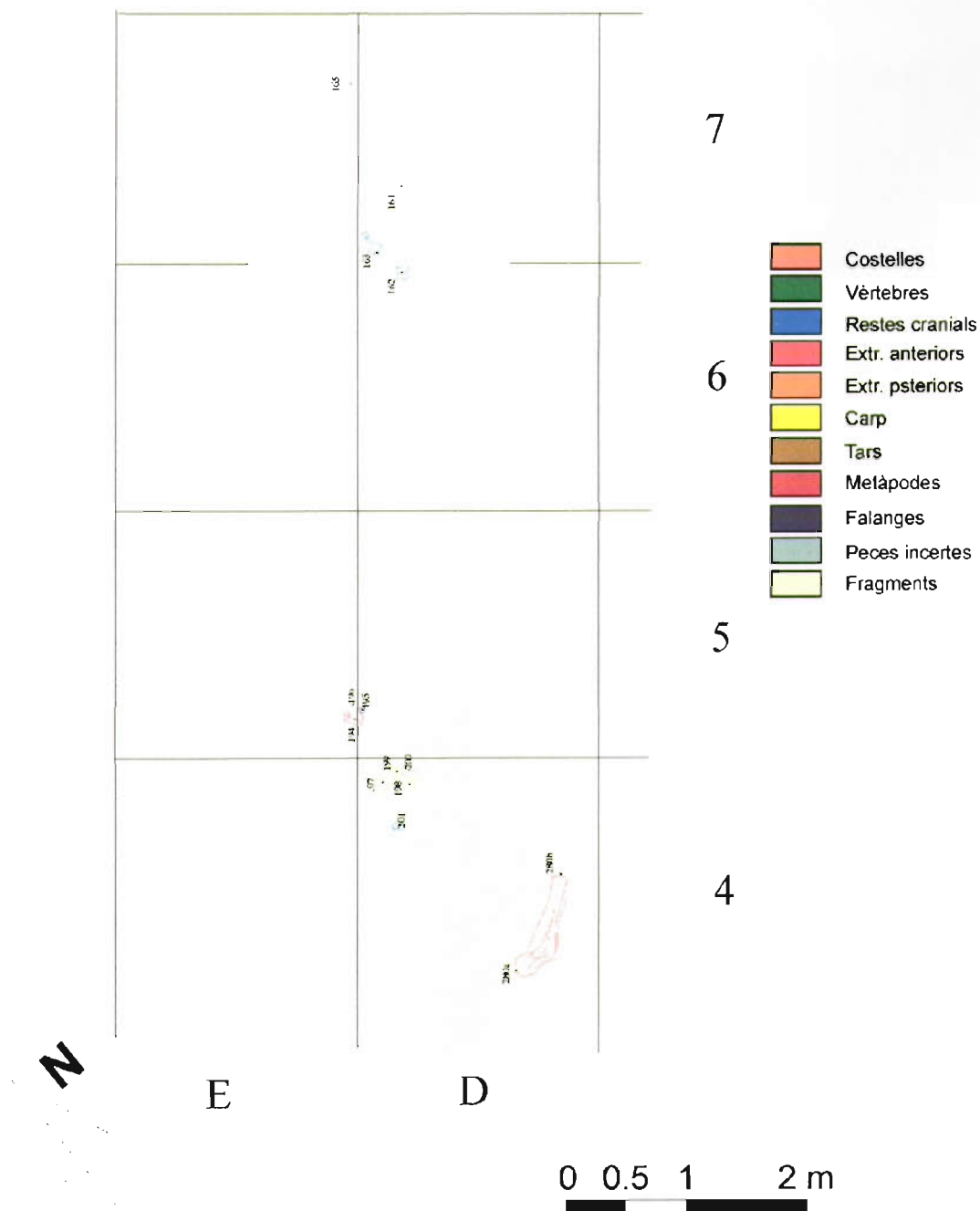


Figura 4c – Detall de la planta del jaciment.

5.3. SISTEMÀTICA

L'ordre dels proboscídis (del llatí *proboscis*, trompa) agrupa mamífers ungulats provistos de trompa. En l'actualitat els seus únics representants són els elefants africà i asiàtic, pertanyents a dos gèneres diferents, però són molts els avantpassats dels quals només tenim coneixement per les restes fòssils que s'han anat trobant.

La línia evolutiva dels dinoteris agrupa "elefants" que es caracteritzaven, entre altres coses, per no tenir incisives superiors i presentar unes incisives inferiors gairebé verticals o corbades cap enrere, les quals es pensa que els servien per aconseguir l'aliment (figura 5).

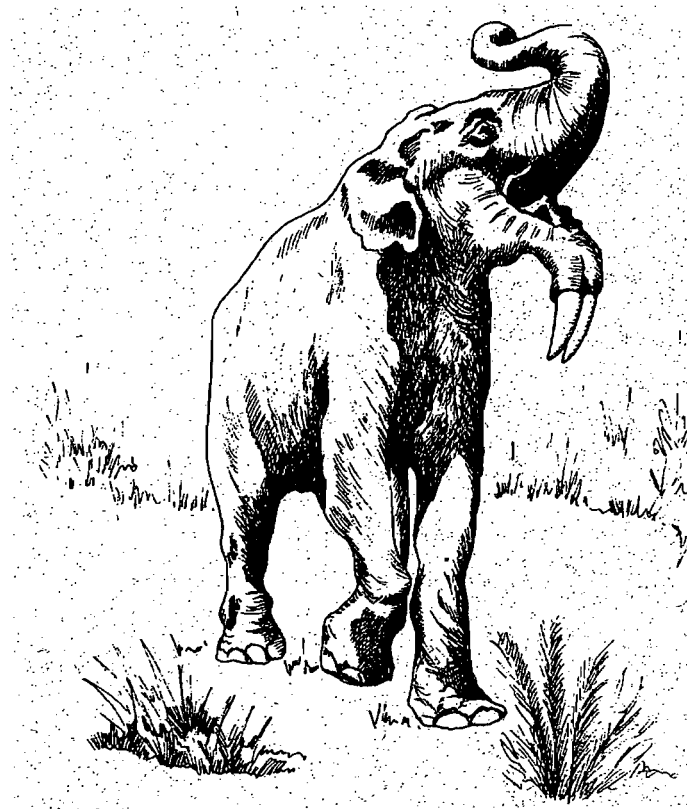


Figura 5 - Dinoteri segons F. Dominguez, basat en Augusta Burian (1966).

Segons Meléndez (1995) les formes més primitives dels dinoteris han estat trobades en sediments del Miocè inferior del continent africà (22 m.a.). Amb el temps s'expandiren per Asia a través de l'Orient Mitjà tot arribant a Europa (17 m.a.), on foren abundants durant el Miocè inferior i mig. Al continent europeu van sobreviure fins el Pliocè superior, mentre que a l'Àfrica la seva existència es prolongà fins al Pleistocè inferior (1,3 m.a.).

Tot i que no es disposa de dades concloents es pot suposar pel que es coneix del context geològic local que les restes de Can Roqueta II pertanyen al Vallesià tardà o al Turolità primerenc, la qual cosa indica una antiguitat d'entre 7 i 10 milions d'anys.

5.4. INCIDÈNCIES

El cap de setmana del 18 i 19 de març l'excavació va ser objecte d'actes vandàlics que afectaren total o parcialment algunes restes de *Deinotherium sp.* que es trobaven en superfície. El dilluns dia 20 s'inicià el procés de consolidació *in situ* de les restes afectades.

La peça més malmesa va ser un radi (CRII-52) que fou trencat en set blocs grans i un nombre indeterminat de fragments més petits. Una primera actuació va permetre retirar els blocs de la diàfisi i enganxar els fragments associats. Les dues epífisis van ser retirades mitjançant un parell d'embolcalls de poliuretà expandit.

Una escàpula (CRII-31) va patir danys a l'espina escapular i en el costat vertebral. En ambdós casos es van poder enganxar alguns fragments. L'epífisi d'un os llarg es va trobar arrencada i desmoronada al costat de la diàfisi. Els fragments van ser consolidats i enganxats, recuperant parcialment la peça.

Una costella (CRII-51) es va trencar per la part central en caure els fragments del radi esmentat. Aquesta peça, per causa del seu tamany i pel fet d'estar ben consolidada, es va poder recuperar pràcticament del tot.

També un fragment de pelvis es va trobar trencat parcialment i les estelles no es van poder recuperar.

Cal esmentar que el jaciment es va trobar destapat en la seva totalitat la qual cosa provocà una pèrdua d'humitat molt perjudicial del sediment i de les restes fòssils. Aquest fet va generar esquerdes en la majoria dels ossos.

D'altra banda la tarda i nit del dia 29 de març l'excavació va ser objecte del robatori d'un metàpode de *Deinotherium sp.* (CR11-70).

El dimarts dia 28 a dos quarts de quatre es va decidir interrompre els treballs d'excavació degut a la pluja que començava a caure. El dimecres dia 29, a dos quarts de vuit del matí, es va tornar al jaciment. Veient el seu estat es decidí esperar unes hores a que s'assequessin el sediment i les restes fòssils. Al migdia es va fer una segona visita i en comprovar que les condicions no havien millorat suficientment s'optà per no excavar fins al dia següent. A dos quarts de vuit del vespre es va constatar en una nova visita que havia desaparegut la meitat proximal d'un metàpode de *Deinotherium sp.* El dijous dia 30 de març es va reanudar l'excavació a dos quarts de vuit del matí. Durant la nit anterior la meitat distal del metàpode que restava al jaciment havia estat excavada i extreta.

D'ambdues incidències es va donar avís al Sr. Genís Ribé, director del Museu d'Història de Sabadell, interposant Xavier Ros una denúncia per robatori a les dependències de la Policia Municipal de Sabadell en el darrer cas.

6. RESUM I CONCLUSIONS

Entre els mesos de setembre de 1999 i juny de 2000 s'ha dut a terme un seguiment paleontològic de la construcció del polígon industrial de Can Roqueta II (Sabadell) per la proximitat de l'àrea afectada al jaciment de Can Llobateres, així com a d'altres localitats properes d'interès paleontològic.

Un primer conjunt de restes va ser localitzat prop de l'extrem sudoccidental del carrer nº10. Posteriorment una segona concentració de restes de vertebrats va ser descoberta prop de la cruïlla dels carrers nº3 i nº10 durant els treballs de buidat de la parcel·la nº6. Donada la importància dels indicis es va optar per aturar l'execució del desmunt i una primera avaluació apuntà la necessitat d'abordar una **excavació d'urgència** la qual ha permès extreure més de trescentes peces, una bona part de les quals han estat atribuïdes a un parell d'exemplars de proboscidi del gènere *Deinotherium*.

Pel que fa a restes cranials cal esmentar dos fragments de crani amb una sèrie dentària completa, una mandíbula, dues incisives (defenses) i diversos molars i premolars aïllats. Quant a l'esquelet postcranial les troballes es poden resumir en dos atlas, diverses vèrtebres cervicals i toràciques, nombroses costelles, dues extremitats anteriors, una pelvis i tres extremitats posteriors parcialment completes.

La línia evolutiva dels dinoteris agrupa "elefants" que es caracteritzaven, entre altres coses, per no tenir incisives superiors i presentar unes incisives inferiors gairebé verticals o corbades cap enrere, les quals es pensa que els servien per aconseguir l'aliment. Les formes més primitives han estat trobades en sediments del Miocè inferior del continent africà (22 m.a.) i amb el temps s'expandiren tot arribant a Europa (17 m.a.) on van sobreviure fins el Pliocè superior, mentre que a l'Àfrica la seva existència es prolongà fins al Pleistocè inferior (1,3 m.a.).

Al carrer nº1, en un punt situat a poc menys d'un centenar de metres de la cruïlla amb el carrer nº11, s'ha recollit una mostra de sediment que segons el Dr. Agustí (*Institut de Paleontologia M. Crusafont*) pertany a la biozona MN10, probablement a la seva part alta, això és al Vallesià superior.

Tenint en compte la datació anterior i el context geològic local es pot suposar que les restes de Can Roqueta II pertanyen al Vallesià tardà o al Turolità primerenc, la qual cosa indica una antiguitat d'entre 7 i 10 milions d'anys.

7. BIBLIOGRAFIA

Agustí, J. (1988) El Vallesiense. Investigación y Ciencia, nº 140, pag. 14-21.

Agustí, J., Cabrera, L. y Moyà-Solà, S. (1985) Sinópsis estratigràfica del Neógeno de la fosa del Vallès-Penedès. Paleontologia i Evolució, nº 18, pag. 57-81. Institut de Paleontologia Miquel Crusafont, Diputació de Barcelona.

Colombo, F. (1989) Abanicos aluviales in Sedimentología (vol. I), Colección Nuevas Tendencias (vol. 11), pag. 143-218. Servicio de Publicaciones, Consejo Superior de Investigaciones Científicas.

Garcés, M. (1995) Magnetoestratigrafía de las sucesiones del Mioceno medio y superior del Vallès Occidental (Depresión del Vallès-Penedès, N.E. de España): implicaciones biocronológicas y cronoestratigráficas. Memoria para optar al grado de Doctor en Geología por la Universidad de Barcelona, 337 pp.

Guimerà, J. i equip d'autors (1992) Geologia (II). Història Natural dels Països Catalans, 2. Enciclopèdia Catalana, S.A, 548 pp.

Llenas, M. (1997a) Memòria de la beca de paleontologia: Miquel Crusafont i el patrimoni paleontològic de Sabadell. Institut de Paleontologia M. Crusafont.

Llenas, M. (1997b) Datacions paleontològiques amb micromamífers dels materials neògens dels fulls MTN 420-3-2 Papiol, 420-4-1 Sant Cugat, 334-1-1 Girona i 392-2-2 Sabadell a escala 1/10.000. Institut Cartogràfic de Catalunya.

Meléndez, B. (1995) Paleontología 3. Volumen 2. Mamíferos (2ª parte). Editorial Paraninfo.

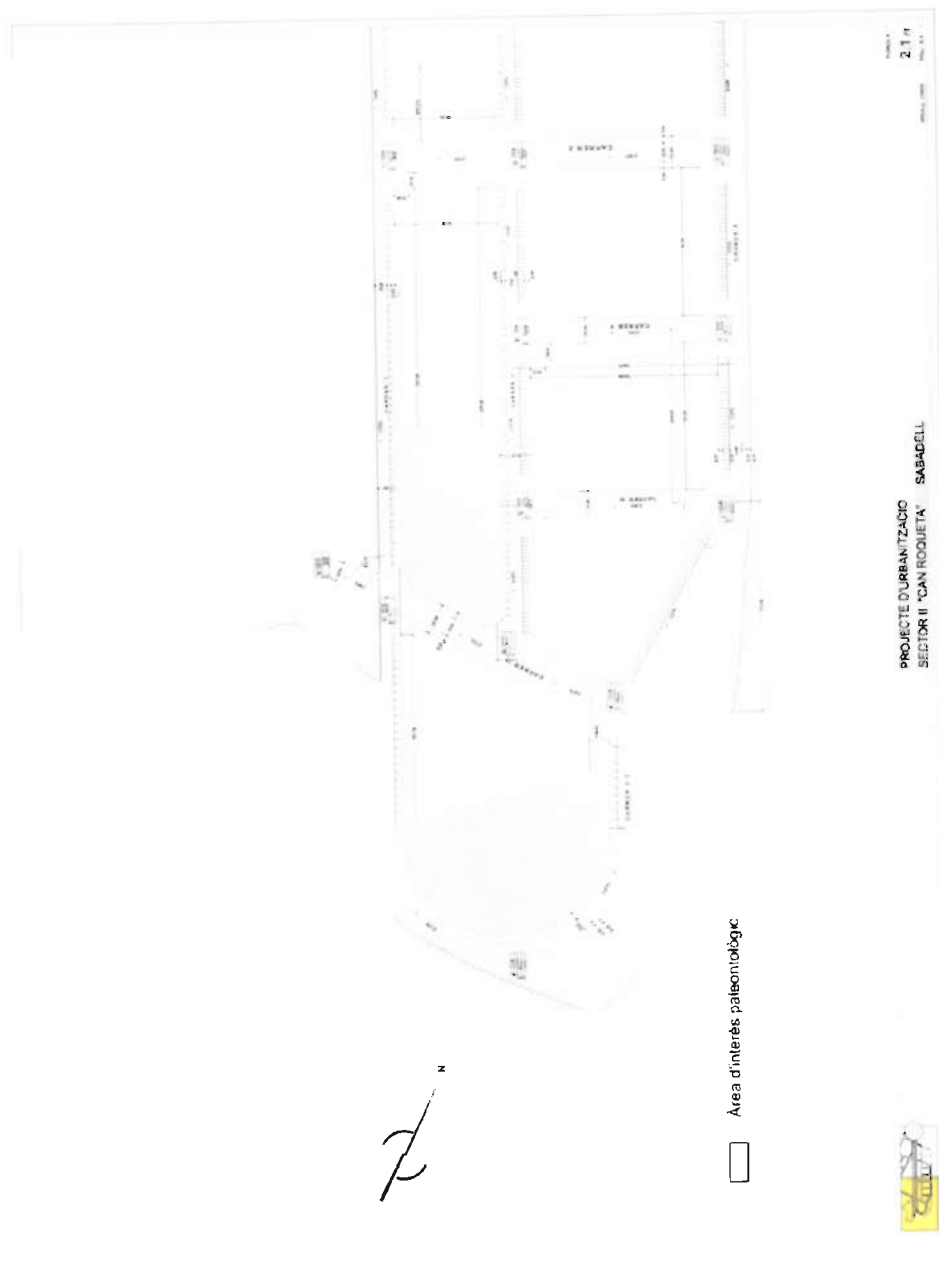
Moyà-Solà, S. & Köhler, M. (1993a) Recent discoveries of *Dryopithecus* shed new light on evolution of great apes. Nature, vol. 365, pag. 543-545.

Moyà-Solà, S. & Köhler, M. (1993b) Dryopithecus y el origen de los grandes monos actuales. Investigación y Ciencia, diciembre, pag. 30-31.

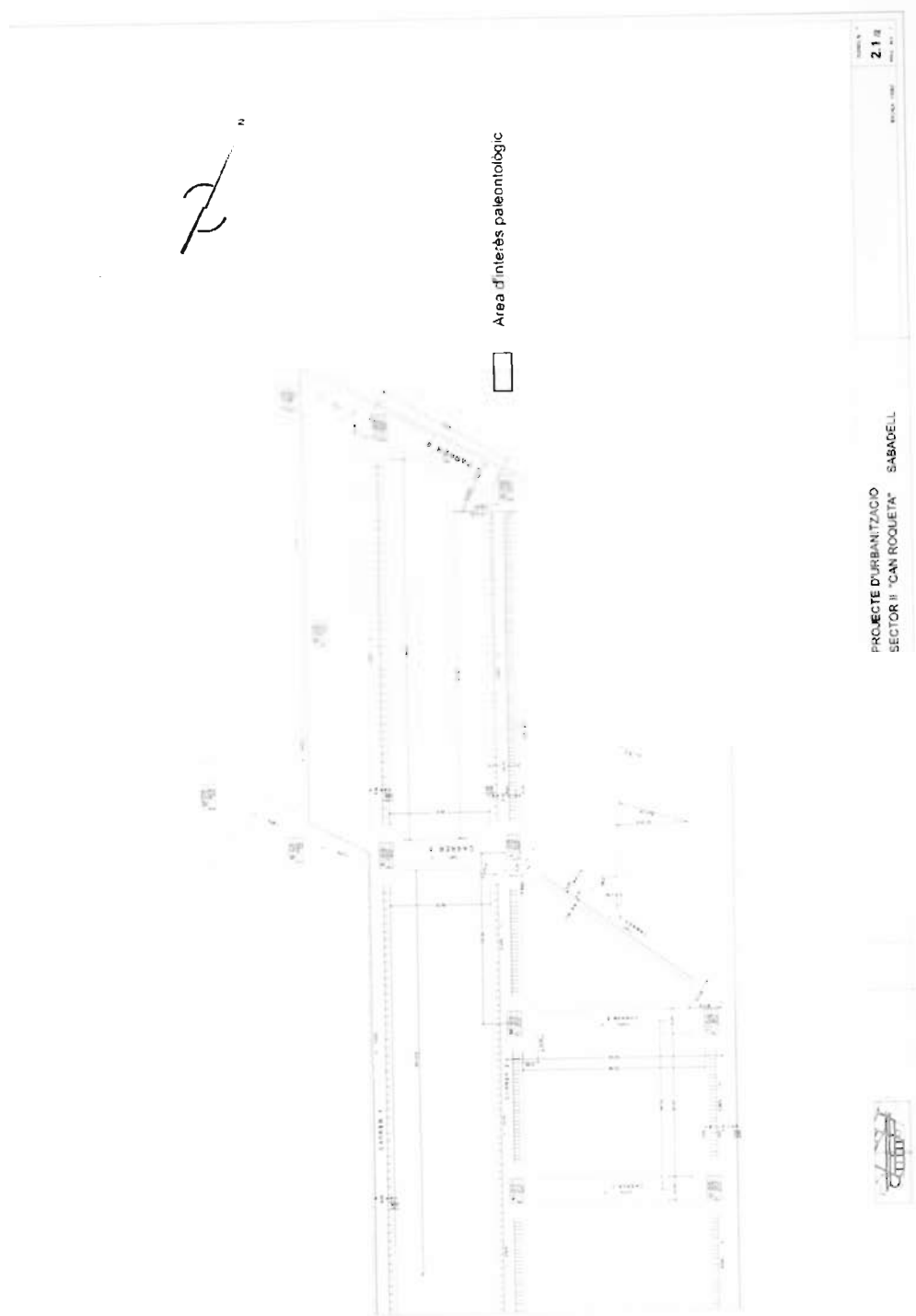
Ros, X. i Palomar, J. (1997) Informe sobre el seguiment paleontològic de les obres de condicionament de la carretera B-140 (Sabadell-Sta. Perpètua de la Mogoda). Servei d'Arqueologia, Departament de Cultura (GdC), 37 pp.

Sanz de Siria, A. (1995) Datos sobre la paleoclimatología y paleoecología del Neógeno del Vallès-Penedès según las macrofloras halladas en la cuenca y zonas próximas. Paleontologia i Evolució, nº 26-27, pag. 281-290. Institut de Paleontologia Miquel Crusafont, Diputació de Barcelona.

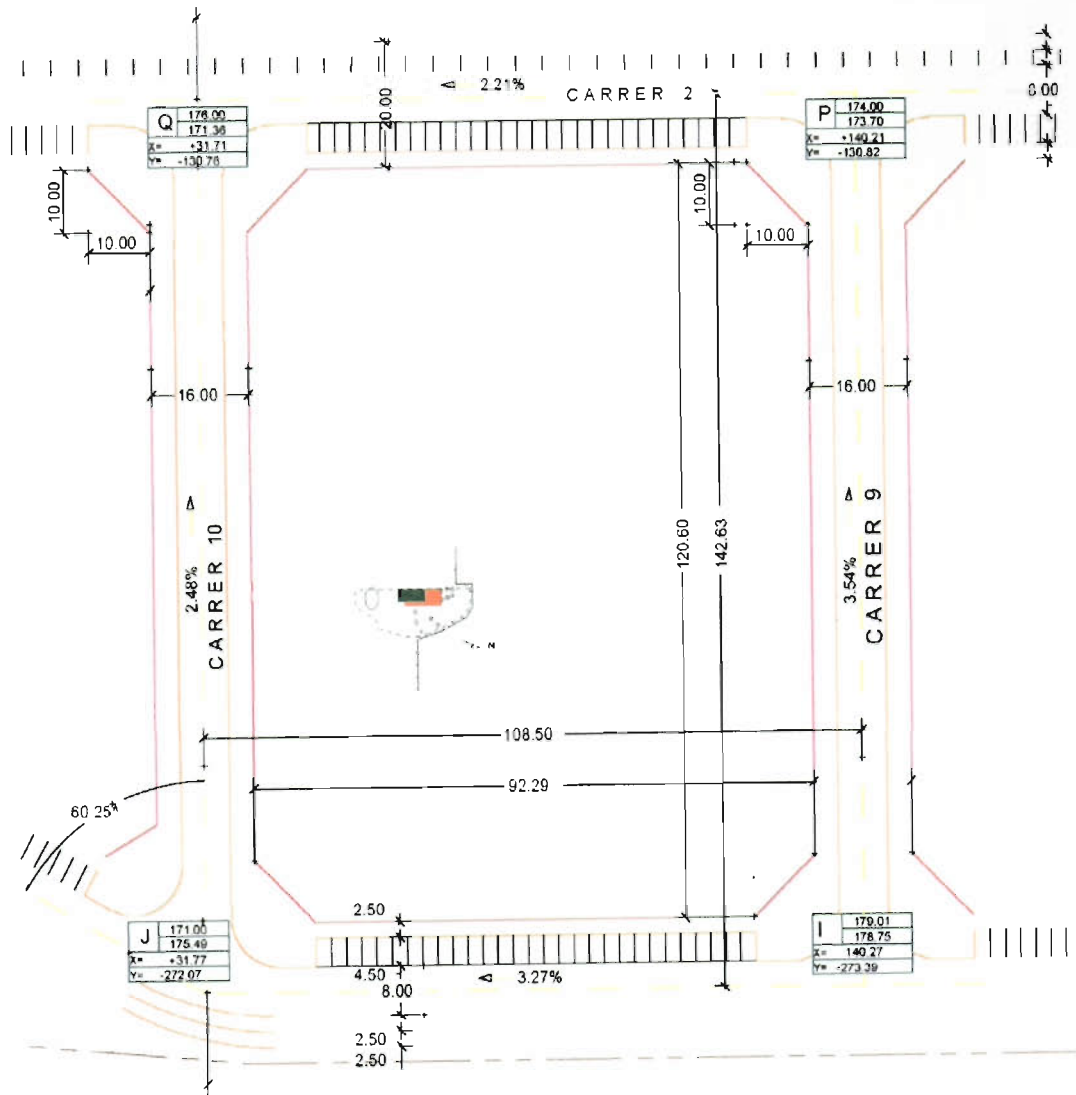
8. ANNEX: PLÀNOLS



P.I. Can Roqueta II, àrees d'interès paleontològic.



P.I. Can Roqueta II, àrees d'interès paleontològic.



Situació de la parcel·la n°6.

9. ANNEX: INVENTARI



GEOTERNA

*Institut de Paleontologia M. Crusafont
Sabadell*

Benvolgut Sr.

fem entrega de les restes paleontològiques (veure inventari adjunt) recuperades en el seguiment i l'excavació d'urgència duts a terme en les obres de construcció del Polígon Industrial Can Roqueta II (Sabadell).

Atentament

Xavier Ros

Jordi Palomar

Sabadell, 20 de juny del 2000

**GEOTERNA C/ Fra Luis de León, 146 A Sabadell 08203 Telf/fax 93 710 38 28 Mòbil 689 38 45 44
Correu electrònic geoterna@ctv.es**

**GEOTERNA C/ Fra Luis de León, 146 A Sabadell 08203
Telf/fax 93 710 38 28 Mòbils 689 38 45 44 i 659 11 97 95
Correu electrònic geoterna@ctv.es**

Inventari de les restes extretes durant l'excavació d'urgència a la parcel·la nº6.

DATA	C./P.	DESCRIPCIÓ	TAXÓ	lº	H cm	D cm	ORIENTACIÓ
25/02/00	P6	os carp	<i>Deinath.</i>	?	?	?	
24/02/00	P6	dent	<i>Deinath.</i>	115	206	1140	240/8/150/17
24/02/00	P6	dent	<i>Deinath.</i>	116	208	1158	pla
24/02/00	P6	dent	<i>Deinath.</i>	118	208	1125	
24/02/00	P6	frag. os pla	indet.	117	207	1140	120/9
25/02/00	P6	frag. os	indet.	75	109,5	776	355/6
?	P6	frags. defensa	<i>Deinath.</i>	112-113	201-205,5	1115-1150	pla
?	P6	frag. os	indet.	90	100,5	557	180/6
29/02/00	P6	frag. os	indet.	89	107	744	pla
29/02/00	P6	frag. os	indet.	91	104,5	763	280/22/190/39
06/03/00	P6	frag. os	indet.	75	137,5	733	5/34/185/44
06/03/00	P6	frag. os	indet.	75	134	787	355/15
?	P6	húmer	<i>Deinath.</i>	a77/b77	a154/b134	a823/b728	80/12
06/03/00	P6	frag. os	indet.	75	125,5	790	
06/03/00	P6	epífisi	indet.				
09/03/00	P6	epífisi os petit	indet.	67	118	730	
09/03/00	P6	falange	indet.	70	118	793	335/13
9-15(c)/3/00	P6	escàpula	<i>Deinath.</i>	a71/b68/c69	a132.5/b103.3/c112,6	a744/b748/c795	180/15/90/30
09/03/00	P6	costella	<i>Deinath.</i>	a73/b71	a143.7/b127.5	a763/b750	112/15/12/90
10/03/00	P6	frag. os gran	indet.	71,5	113,8	770	200/35/120/90
10/03/00	P6	epífisi	indet.	69	109	775	213/16/pla
13/03/00	P6	defensa	<i>Deinath.</i>	a70/b71	a110/b119,2	a795/b757	200/16
13/03/00	P6	frag. os	indet.	68	107,5	788	

13/03/00	P6	frag. os	indet.	68	109,8	775	
13/03/00	P6	os carp	indet.	66	111,2	745	vertical
14/03/00	P6	frag. costella	<i>Deinath.?</i>	72	141	795	120/32/28/42
14/03/00	P6	frag. costella	indet.	71	135	783	305/20
14/03/00	P6	frag. os	indet.	71	133	775	
15/03/00	P6	frag. costella	<i>Deinath.</i>	a74 / b74	a146,4/b144	a763/b790	38/0 aprox.
15/03/00	P6	costella	<i>Deinath.</i>	a75/b72,5	a148,8/b129,8	a754/b785	178/22
15/03/00	P6	costella	<i>Deinath.</i>	a70/b68	a153/b145,6	a758/b808	35/10/126/28
15/03/00	P6	frag. os	<i>Deinath.?</i>	74	154,6	764	18/0 aprox.
16/03/00	P6	epifisi vertebral costella	<i>Deinath.?</i>	73	154,7	765	28/0 aprox.
16/03/00	P6	epifisi + diáfisi os llarg	<i>Deinath.?</i>	a71,5/b70	a150/b146,8	a775/b772	146/5 aprox.
16/03/00	P6	frag. os	indet.	a71/b70	a150/b146,8	a795/b772	118/5 aprox.
17/03/00	P6	os carp	<i>Deinath.</i>	71	161,5	794	pla
17/03/00	P6	os carp, magnum?	indet.	71,5	155,5	787	vertical eix màxim
17/03/00	P6	costella	<i>Deinath.</i>	a72/b71	a157/b152,7	a785/b777	135/15/35/80
17/03/00	P6	radi	<i>Deinath.</i>	a69,5/b72	a134,9/146,9	a785/b737	190/5
17/03/00	P6	cúbit	<i>Deinath.</i>	a69/b71	a134/b142	a705/b755	95/0 aprox.
17/03/00	P6	frag. os	<i>Deinath.?</i>	70	140,7	723	pla
22/03/00	P6	frag. os	<i>Deinath.</i>	67,5	136,5	790	
22/03/00	P6	os carp	<i>Deinath.</i>	66	120	780	
23/03/00	P6	costella	<i>Deinath.</i>	a65/b66,5	a126,5/b139,5	a783/b83,3	120/4/0
23/03/00	P6	os carp?	<i>Deinath.?</i>	84	160,5	840	180/36
23/03/00	P6	dent	<i>Deinath.</i>	66	158,8	795	83/0
27/03/00	P6	frag. os	indet.	83,5	163	832	
27/03/00	P6	frag. costella	<i>Deinath.</i>	88	168	880	245/26
27/03/00	P6	frag. os pla	<i>Deinath.</i>	89	174,8	907	008/33

27/03/00	P6	costella	<i>Deinath.</i>	a99,5/b98,5	a176,5/b166,5	a899/b948	242/18
27/03/00	P6	fémur	<i>Deinath.</i>	a91/b85	a166,2/b163,5	a882/b824	145/3
28/03/00	P6	frag. os	indet.	85	140,2	773	150/89
28/03/00	P6	frag. os	indet.	85	166,5	815	
30/03/00	P6	metàpode	<i>Deinath.</i>	86	164	785	
30/03/00	P6	frag. costella	<i>Deinath.</i>	87	173	886	88/8/176/24
30/03/00	P6	epífisi	<i>Deinath.</i>	86	173	900	138/62
30/03/00	P6	epífisi + indet.	<i>Deinath.</i>	86	170	800	pla
30/03/00	P6	frag. costella	<i>Deinath.</i>	92	172	854	
30/03/00	P6	dent	indet.				
03/04/00	P6	frag. os	indet.	81	1763	838	20/30
03/04/00	P6	costella	<i>Deinath.</i>	85a/89b	152,3a/166,5b	810a/781b	210/20
03/04/00	P6	costella	<i>Deinath.</i>	86a/88b	153,3a/129,6b	808a/760b	50/41
03/04/00	P6	húmer	<i>Deinath.</i>	89a/89b	167,8a/138,3b	811a/831b	280/90
06/04/00	P6	costella	<i>Deinath.</i>	93,5a/95b	126,2a/137,5b	700a/768b	108/13
06/04/00	P6	costella trencada	<i>Deinath.</i>	93a/97b	127,3a/124b	728a/687b	24/10
06/04/00	P6	frag. costella	<i>Deinath.</i>	94	135,4	765	192/18
06/04/00	P6	fragment	<i>Deinath.</i>	93a/97b	134,9a	767a	192/18
07/04/00	P6	os tars?	indet.				
07/04/00	P6	frag. costella	indet.				
13/04/00	P6	escàpula	<i>Deinath.</i>	a84/b91.5	a126,5/b138.2	a729/b739	178/7
13/04/00	P6	costella	<i>Deinath.</i>	a92/b92	a142/b160.5	a758/b829	100/23
13/04/00	P6	costella	<i>Deinath.</i>	a96/b95	a141/b160	a767/b830	67/20/340/10
17/04/00	P6	os llarg?	indet.	67	55,2	1390	
17/04/00	P6	frags. os	indet.	77	193,7	1385	
17/04/00	P6	costella trencada	indet.	67	10	1803	84/6

18/04/00	P6	frag. costella	<i>Deinath.</i>	92	182,7	867	pla
18/04/00	P6	frag. costella	<i>Deinath.</i>	94	176	854	128/22/190/4
20/04/00	P6	vèrtebra	<i>Deinath.</i>	a92/b93	a166/b169	a805/b825	120/4/141/14
20/04/00	P6	indet.	<i>Deinath.</i>	94	166,5	793	pla
25/04/00	P6	frag.	indet.	95	160	825	115/85
25/04/00	P6	frag. costella	<i>Deinath.</i>	90,5	177,5	843	
25/04/00	P6	fragment	indet.	95	174	851	
25/04/00	P6	costella	<i>Deinath.</i>	a97/b90.5	a176/b177.5	a858/b852	172/7
25/04/00	P6	frag. costella	<i>Deinath.</i>	a93.5/b92	a171.5/b186.2	a845/b772	57 pla
25/04/00	P6	frag. costella	<i>Deinath.</i>	a93/b90.5	a166.8/b177	a845/b843	343 pla
25/04/00	P6	frag. costella	<i>Deinath.</i>	a92/b90.5	a171/b188	a841/b862	4 pla
25/04/00	P6	costella	<i>Deinath.</i>	a92/b94	a122.5/b143.5	a690/b734	126/22
26/04/00	P6	frag. costella	indet.	98	178	895	25/5/65/90
27/04/00	P6	vèrtebra	indet.	95	169	836	108/42
02/05/00	P6	frags.	indet.	77	187,5	1199	
02/05/00	P6	dent	<i>Deinath.</i>	77	159,7	985	225 pla
02/05/00	P6	dent	<i>Deinath.</i>	77	155	1061	180 pla
02/05/00	P6	dent	<i>Deinath.</i>	76,5	159,3	1094	100/6
02/05/00	P6	dent	<i>Deinath.</i>	78	172,5	1141	40 pla
02/05/00	P6	dent	<i>Deinath.</i>	79	169,2	1152	110/5
02/05/00	P6	dent	<i>Deinath.</i>	76	164	1144	80 pla
03/05/00	P6	frag. costella	<i>Deinath.</i>	83	174	854	176/8
03/05/00	P6	os carp?	<i>Deinath.</i>	77	186	1218	14/42
03/05/00	P6	os carp?	<i>Deinath.</i>	77	180	1233	pla
03/05/00	P6	frag. os	indet.	a77/b80	a172.5/b173	a1230/b1235	340/2
03/05/00	P6	frag. os	indet.	a80/b78	a175.5/b182	a1238/b1234	192/16

03/05/00	P6	costella	<i>Deinot.</i>	a98/b104	a162/b172.5	a850/b884	152/12
04/05/00	P6	vertebra	<i>Deinot.</i>	a105/b104	a167/b184	a854/b876	126/18
04/05/00	P6	frag. os	indet.	107	166,5	879	
12/05/00	P6	calcani	<i>Deinot.</i>				
17/02/00	P6	frag. os	indet.				
05/05/00	P6	cùbit	<i>Deinot.</i>	a64/b69	a125.7/b151.5	a930/b909	156/18
05/05/00	P6	frag. os	indet.	67	141	900	202/20
05/05/00	P6	costella	<i>Deinot.</i>	a65/b68	a134.4/b149.4	a873/b982	128/20
05/05/00	P6	vertebra	<i>Deinot.</i>	a66/b69	a139.1/b149.5	a862/b853	
05/05/00	P6	metàpode	<i>Deinot.</i>	a69/b70	a155/b157	a885/b885	153/8
05/05/00	P6	frag. os	indet.	70	144,9	864	86/16
05/05/00	P6	frag. os	indet.	70	145	879	
05/05/00	P6	vertebra	<i>Deinot.</i>	a81/b79	a194.5/b194	a1294/b1282	351/21
05/05/00	P6	vertebra	<i>Deinot.</i>	79	190,5	1313	
05/05/00	P6	vertebra	<i>Deinot.</i>	78	185,6	1295	110 pla
05/05/00	P6	frag. os	indet.	79	187,7	1300	pla
05/05/00	P6	metàpode	<i>Deinot.</i>	a79/b78	a188.2/b187	a1315/b1310	152 pla
08/05/00	P6	frag. os	indet.	80	157,5	985	138/36
08/05/00	P6	os larg	<i>Deinot.</i>	a78/b79	a143.7/b163.5	a999/b1012	138/43
08/05/00	P6	frag. crani + dents	<i>Deinot.</i>	a79/b80	a168/b171.8	a1016/b1038	170/28
09/05/00	P6	os carp?	<i>Deinot.</i>	72	151	983	pla
09/05/00	P6	metàpode	<i>Deinot.</i>	a75/b74	a145/b154.5	a1026/b1008	197/68
09/05/00	P6	os carp?	<i>Deinot.</i>	78	103	1256	
10/05/00	P6	frag. os	indet.	77	150,3	1074	
10/05/00	P6	frag. os	indet.	76	145	1633	
12/05/00	P6	mandíbula	<i>Deinot.</i>	a70/b71	a143.2/b137.5	a924/b994	280/23/195/17

12/05/00	P6	metàpode	<i>Deinoth.</i>	75	152	1058	77/64
12/05/00	P6	defensa	<i>Deinoth.</i>	a75/b76	a154/b148	a1012/b1059	265/5
12/05/00	P6	costella	<i>Deinoth.</i>	a79/b76	a166.3/b167	a1173/b1204	10/pla/190/pla
12/05/00	P6	os carp, uncióforme?	<i>Deinoth.</i>	78	190,5	1208	pla
12/05/00	P6	escàpula petita	<i>Deinoth.</i>	a75/b74	a164.6/b160	a1222/b1192	124/12
12/05/00	P6	frag. vèrtebra	<i>Deinoth.</i>	a75/b75	a171/b170	a1262/b1287	90/4
16/05/00	P6	vèrtebra	<i>Deinoth.</i>	a93/b97	a159.2/b152.4	a804/b821	350/170//84/22
16/05/00	P6	indet. (placa)	<i>Deinoth.</i>	a93/b93	a134.3/b151.5	a763/b796	112/15
16/05/00	P6	fragment banya	cèrvid	78	122,8	1055	
16/05/00	P6	os llarg	<i>Deinoth.</i>	a66/b63	a127.8/b116.5	a1002/b1082	216/3
16/05/00	P6	costella	<i>Deinoth.</i>	a70/b69	a135.2/b143.5	a1026/b985	275/15//185/85
16/05/00	P6	metàpode	<i>Deinoth.</i>	a56/b57	a126/b132.2	a957/b975	97/15//187/70
16/05/00	P6	vèrtebra	<i>Deinoth.</i>	a59/b58	a135/b137	a925/b966	9/2//100/10
16/05/00	P6	molar	<i>Deinoth.</i>	42	23	1800	127/pla//307/pla
16/05/00	P6	molar	<i>Deinoth.</i>	41	28	1813	160/pla
16/05/00	P6	fragment	<i>Deinoth.</i>	40	7	1870	161/6
16/05/00	P6	fragment	<i>Deinoth.</i>	39	0	1945	66/38
17/05/00	P6	os llarg	<i>Deinoth.</i>	a66/b71	a131/b144.5	a1035/b1043	
17/05/00	P6	fragment os	<i>Deinoth.</i>	69,5	150,5	1267	
18/05/00	P6	húmer petit	<i>Deinoth.</i>	a95/b105	a127/b124.5	a755/b760	0/0
18/05/00	P6	metàpode	<i>Deinoth.</i>	104	148,5	765	60/14
18/05/00	P6	metàpode	<i>Deinoth.</i>	64	135,5	1070	150/0
18/05/00	P6	vèrtebra	<i>Deinoth.</i>	66	137	1068	278/24
18/05/00	P6	costella	<i>Deinoth.</i>	a66/b70	a139/b143.5	a1075/b1095	320/0
18/05/00	P6	costella	<i>Deinoth.</i>	a66/b69	a142/b149	a1070/bb1105	180/10
18/05/00	P6	os llarg	<i>Deinoth.</i>	a68/b72	a134.5/b150.5	a1045/b1105	92/18

18/05/00	P6	costella	<i>Deinoth.</i>	a73/b71	a147.5/b156.5	a1080/b1145	40/10
18/05/00	P6	costella	<i>Deinoth.</i>	a70/b75	a161.5/b183.5	1115/b1175	98/18
18/05/00	P6	costella	<i>Deinoth.</i>	a73/b75	a156.5/b173	a1105/b1170	98/18
18/05/00	P6	metàpode	<i>Deinoth.</i>	75	166,5	1125	170/13
19/05/00	P6	metàpode	<i>Deinoth.</i>	71	154,5	1018	338/1(pla)
19/05/00	P6	frag. costella	<i>Deinoth.</i>	70	147	1024	158/16
19/05/00	P6	frag. costella	<i>Deinoth.</i>	73	149	1053	120/10
23/05/00	P6	indet.	<i>Deinoth.</i>	a101/b102	a153.5/b141.5	a795/b770	
23/05/00	P6	os gran, indet.	<i>Deinoth.</i>	a97/b99	a158.5/b147	a805/b775	25/30
24/05/00	P6	costella	<i>Deinoth.</i>	a98/b93	a143/b132.7	a759/b721	142/10/52/16
24/05/00	P6	costella trencada	<i>Deinoth.</i>	a97/a93	a134.7/b134	a722/b705	175/4
24/05/00	P6	costella	<i>Deinoth.</i>	a100/b97	a151.5/b134.7	a792/b722	124/9/14/59
24/05/00	P6	húmer	cèrvid	36	41,3	760	156/10
24/05/00	P6	fèmur	<i>Deinoth.</i>	a45/b37	a61/b37	a784/b744	94/4/182/37
24/05/00	P6	costella	<i>Deinoth.</i>	a47/b43	a67.5/b57	a776/b817	175/13
24/05/00	P6	mandíbula	<i>Deinoth.</i>	a50/b45	a64.5/b42.5	a744/b750	129/12
24/05/00	P6	vertebra	<i>Deinoth.</i>	a48/b45	aa68.8/b63.5	a834/b857	172/10
24/05/00	P6	tíbia o cùbit	<i>Deinoth.</i>	a51/b45	a59.5/b56	a827/b818	300/2
24/05/00	P6	fèmur	<i>Deinoth.</i>	a51/b53	a66.5/b59.5	a747/b854	238/7
24/05/00	P6	metàpode	<i>Deinoth.</i>	47	65,5	1336	0/10
24/05/00	P6	falange	<i>Deinoth.</i>	47	68,5	1345	4/24
24/05/00	P6	estella	<i>Deinoth.</i>	47	66	1353	76/15
24/05/00	P6	os carp	<i>Deinoth.</i>	49	70	1297	330/16
24/05/00	P6	os carp	<i>Deinoth.</i>	49	67	1298	144/90
24/05/00	P6	os carp	<i>Deinoth.</i>	50	69,5	1308	
24/05/00	P6	os indet.	<i>Deinoth.</i>	49	77	1306	112/12

24/05/00	P6	dent	<i>Deinath.</i>	49	73	1263	
25/05/00	P6	costella	<i>Deinath.</i>	a49/b44	a70.5/b53.5	a779/b794	123/15
25/05/00	P6	costella	<i>Deinath.</i>	a74/b77	a149/b160.54	a1097/b1097	162/18//243/45
25/05/00	P6	costella	<i>Deinath.</i>	a62/b61	a121.5/116.5	a1094/b1041	76/pla//256/pla
25/05/00	P6	frag. pehvis	<i>Deinath.</i>	a63/b59	a118/b100.54	a1026/b1039	158/pla//338/pla
25/05/00	P6	estella	<i>Deinath.</i>	61	107,5	998	139/15//220/12
25/05/00	P6	indet.	<i>Deinath.</i>	57	122	1021	
25/05/00	P6	os carp	<i>Deinath.</i>	57	121	1055	75/pla//255/pla
25/05/00	P6	metàpode	<i>Deinath.</i>	57	118,5	1015	280/pla//100/pla
25/05/00	P6	os carp	<i>Deinath.</i>	57	116	1003	148/18
25/05/00	P6	vèrtebra	<i>Deinath.</i>	a57/b57	a119/b108	a1003/b963	81/19
25/05/00	P6	costella	<i>Deinath.</i>	a59/b56	a123.5/b106	a973/b994	162/14//70/27
25/05/00	P6	vèrtebra	<i>Deinath.</i>	a59/b58	a134/b122	a909/b960	219/2//127/15
26/05/00	P6	falange	<i>Deinath.</i>	45	53	733	
26/05/00	P6	frag. costella	<i>Deinath.</i>	a102/b107	a202/b204	a1003/b994	350/6
26/05/00	P6	frag. escàpula?	<i>Deinath.</i>	a100/b104/c102	a139/b158/c150	a740/b823/c780	350/20
26/05/00	P6	frag. indet.	<i>Deinath.</i>	105	138,5	760	
26/05/00	P6	frag. indet.	<i>Deinath.</i>	104	170	759	
26/05/00	P6	frag. vèrtebra	<i>Deinath.</i>	45	66,5	810	
26/05/00	P6	costella	<i>Deinath.</i>	a73/b69	a161/b148.5	a154/b125	126/6
29/05/00	P6	os tars? calcani	<i>Deinath.</i>	47	65	755	pla
29/05/00	P6	frag. costella	<i>Deinath.</i>	a99/b99	a147/b136	a771/b738	110/22
29/05/00	P6	frag. indet.	<i>Deinath.</i>	a102/b102	a159/b154.2	a824/b827	32/18
29/05/00	P6	os carp? tars?	<i>Deinath.</i>	51	74,5	843	
29/05/00	P6	calcani	<i>Deinath.</i>	51	70	838	
29/05/00	P6	epifisi distal cúbit	<i>Deinath.</i>	50	69	824	

29/05/00	P6	costella	Deinath.	a75/b74	a160/b154	a1011/b1050	
29/05/00	P6	costella	Deinath.	a74/b77	a155.5/b158.5	a1065/b1069	
29/05/00	P6	frag. costella	Deinath.	50	80	790	225/26
30/05/00	P6	frag. costella?	Deinath.	98	134,2	738	72/20
30/05/00	P6	costella	Deinath.	a70/b72	a151.5/b155	a1025/1064	124/12
30/05/00	P6	frag. costella	Deinath.	a71/b71	a149.5/158	a1040/b1024	217/16
30/05/00	P6	indet.	Deinath.	76	171	1015	90/22
30/05/00	P6	dent	Deinath.	76	171	1015	30/9
30/05/00	P6	dent	Deinath.	77	170,5	1019	
30/05/00	P6	radi	Deinath.	a75/b77	a167/b169.5	a1023/b1074	322/5
30/05/00	P6	costella	Deinath.	a96/b100	a131.5/b135.5	a718/b741	165/pla/355/pla
30/05/00	P6	fragment	Deinath.	58	109,5	1030	98/21
30/05/00	P6	fragment	Deinath.	59	102	668	8º/20
30/05/00	P6	fragment	Deinath.	59	102	668	8º/20
30/05/00	P6	vèrtebra	Deinath.	59	87	719	0/14
30/05/00	P6	falange	Deinath.	60	103	735	38/26
30/05/00	P6	frag. costella	Deinath.	57	101	728	152/32
30/05/00	P6	húmer	Deinath.	a60/b51	a119/b94	a777/b759	136/12
30/05/00	P6	fragment	Deinath.	54	101	801	0/50
30/05/00	P6	falange	Deinath.	50	87	762	
30/05/00	P6	peroné	Deinath.	a49/b51	a81/b91	a750/b802	60/10
30/05/00	P6	escàpula	Deinath.	a62/b55	a111/b114	a816/b826	334/10/66/50
30/05/00	P6	epifisi distal húmer	Deinath.	52	102	822	0/0
30/05/00	P6	frag. costella?	Deinath.	50	110	837	200/10
30/05/00	P6	indet.	Deinath.	50	112	836	385/0
30/05/00	P6	pevis	Deinath.	a51/b51	a110/b82	a963/b927	94/4/20/60

30/05/00	P6	os carp	Deinath.	50	80	944	0/0
31/05/00	P6	frag. costella	Deinath.	59	103	699	8/0
31/05/00	P6	frag. costella	Deinath.	59	103	718	10 ⁷ /10
31/05/00	P6	costella	Deinath.	a67/b71	a146.5/159.5	a1001/b1056	122/13/42/24
31/05/00	P6	costella	Deinath.	a70/b71	a156/b155	a1040/b2006	256/76//170/59
31/05/00	P6	indet.	Deinath.	59	102	706	
31/05/00	P6	atlas	Deinath.	a57/b56	a106/b105	a710/b745	60/0
31/05/00	P6	vèrtebra toràcica	Deinath.	a61/b58	a119/b111	a740/b748	338/18
31/05/00	P6	metàpode	Deinath.	53	85	738	295/24
31/05/00	P6	frag. vèrtebra	Deinath.	51	94	759	
01/06/00	P6	costella	Deinath.	a66/b67	a115/b124	a1176/b1129	247/8
01/06/00	P6	bloc	Deinath.	77	156,5	1047	
01/06/00	P6	frag. costella	Deinath.	a99/b104	a136/b143	a720/b755	336/3
01/06/00	P6	metàpode	Deinath.	68	114	790	340/9
02/06/00	P6	indet.	Deinath.	103	148,5	765	pla
02/06/00	P6	costella	Deinath.	54	74	719	124/23
02/06/00	P6	costella	Deinath.	50	59	739	
02/06/00	P6	vèrtebra cervical?	Deinath.	45	54	728	
02/06/00	P6	fragment	Deinath.	55	107	168	
05/06/00	P6	dent	Deinath.	102	181	773	
05/06/00	P6	fragment	Deinath.	99	191	942	pla
05/06/00	P6	fragment	Deinath.	89	205	1025	pla
05/06/00	P6	placa, indet.	Deinath.	a107/b104	a124.5/b124	a695/b720	
05/06/00	P6	costella	Deinath.	a102/b107	a127/b140	a703/b745	
05/06/00	P6	dent	Deinath.	81	175	1155	
05/06/00	P6	metàpode	Deinath.	80	164	1144	242/4

05/06/00	P6	frag. os pla + fragment	Deinath.	80	166	1144	pla
06/06/00	P6	radi	Deinath.	a71/b70.5	a121/b130	a1365/b1293	245/10
06/06/00	P6	metàpode	Deinath.	a73/b74	a152.5/b159	a1067/b1065	165/20
06/06/00	P6	os del carp	Deinath.	72,5	152	1074	
06/06/00	P6	vèrtebra	Deinath.	a75/b73	a163/b152.5	a1076/b1081	168/20/80/32
06/06/00	P6	costella	Deinath.	a76/b73	a164.5/b163.5	a1071/b1085	175/8/88/80
06/06/00	P6	costella	Deinath.	a76/b74	a167/b153.5	a1060/b1079	170/18/255/18
06/06/00	P6	frag. os	indet.	74,5	162,5	1057	
07/06/00	P6	molar superior	Deinath.	121	235	1250	340/7
07/06/00	P6	fragments	indet.	122	220	1287	
07/06/00	P6	fragment	indet.	75	156,5	1092	
07/06/00	P6	costella	Deinath.	a76/b77	a165.5/b170	a1115/b1042	266/3/2/90
07/06/00	P6	frag. costella	Deinath.	76	169,5	1033	250/11/343/18
07/06/00	P6	frag. vèrtebra	Deinath.	77	157,5	1081	
07/06/00	P6	fragments crani	Deinath.	76	169	1086	pla
07/06/00	P6	os carp?	Deinath.	76	172	1322	208/10
07/06/00	P6	os carp	Deinath.	76	161	1331	263/2
07/06/00	P6	frag. arrel dent	Deinath.				
07/06/00	P6	dent	indet.				
08/06/00	P6	os carp	Deinath.	75	160	1092	
03/04/00	P6	dent	Deinath.				
	P6	fragments	indet.				
	P6	fragments	indet.				
17/02/00	P6	frag. os	indet.				
25/05/00	P6	fragments	indet.				
05/05/00	P6	fragments	indet.				

03/05/00	P6	fragments	indet.				
04/05/00	P6	fragments	indet.				
18/02/00	P6	frag. os	indet.				
11/05/00	P6	frag. os	indet.				
03/05/00	P6	frag. os	indet.				
21/02/00	P6	frag. os llarg	indet.				
03/04/00	P6	frag. os	indet.				
	P6	fragments	indet.				

10. ANNEX: FOTOGRAFIES



Dibuix de les plantes.



Elaboració d'un embolcall de guix.



13/03/00. CR II-35, 36 i 37.



05/05/00 cúbit, mandíbula, metàpode i un fragment de vèrtebra



09/05/00 Vista de la quadrícula B2 durant el procés d'excavació



09/05/00 mandíbula, ós llarg i vèrtebra toràcica



12/05/00. CRII-148, mandíbula.



26/05/00. CRII-213, vèrtebra.



06/06/00. CRII-280, fèmur.



07/06/00. CRII-287, molar.

11. ANNEX: JACIMENTS PALEONTOLÒGICS

11.1. EL JACIMENT DE CAN LLOBATERES

El jaciment paleontològic de Can Llobateres fou descobert als anys trenta per R. Arquer i M. Crusafont durant els treballs de construcció de la carretera entre Sabadell i Mollet. Ben aviat resultà evident la seva importància i Crusafont el proposà com a *localitat tipus* del Vallesià (Agustí, 1988), unitat estratigràfica continental del Miocè superior.

El nombre d'espècies de vertebrats identificades en aquest jaciment és de més de mig centenar, per la qual cosa aquesta és una de les localitats del Miocè més riques d'Europa. Cal destacar l'èquid *Hipparion catalaunicum* així com rinoceronts, suïds, cèrvids, bòvids, tapirs, fèlids amb dents de sabre, caníds, óssos, mustèlids, etc. (Agustí, 1988).

Can Llobateres també ha lliurat diverses restes de primats, entre les que cal destacar els fragments cranials d'un gran mono fòssil del gènere *Dryopithecus* descoberts l'estiu de 1991 (Moyà & Köhler, 1993 a i b).

Quant a restes de micromamífers Llenas (1997b) distingeix la terrera inferior (C. Ll. 1) i la superior (C. Ll. 2c i 2d). El mostreig dels nivells inferiors permet assignar aquells materials a la biozona de Mein MN9b (Vallesià inferior), mentre que els nivells superiors es troben a MN10 (Vallesià superior). El mateix autor fa referència al mostreig realitzat en una trinxera oberta a la zona de Can Llobateres per a la instal·lació d'una conducció d'aigua, el qual lliurà els següents resultats: T.C.Ll. 0/MN9b, T.C.Ll. 1/MN10 i T.C.Ll. 2/MN10.

En els mateixos nivells que han proporcionat fòssils s'ha trobat algunes restes de vegetals (Sanz de Siria, 1995), a saber: *Pteris* sp., *Sabal major*, *Cassia* sp. i *Ficus* sp. Aquestes indiquen un clima càlid, tropical atenuat o subtropical, més humit que en temps precedents però dotat d'una llarga estació seca.

11.2. ALTRES JACIMENTS I TROBALLES

Llenas (1997a i b) fa referència a diversos jaciments i troballes als sectors de Can Llobateres i Can Roqueta, informació aquesta que tot seguit presentem de forma sintètica.

Torre Romeu: el setembre de 1985 unes obres posaren al descobert nombrosos fragments d'un crani de *Deinotherium giganteum*, proboscidi present entre l'Aragonià mig i el Turolità inferior (MN5-MN11).

Can Roqueta I: capa mostrejada per a l'obtenció de restes de micromamífers, havent estat identificats *Eomuscardinus vallesiensis*, *Muscardinus hispanicus*, *Eumyarion leemani*, *Cricetulodon cf. sabadellensis*, *Prolagus crusafonti* i *Progonomys* sp. L'últim permet situar el jaciment en el Vallesià superior (MN10).

Can Roqueta II: capa mostrejada per a l'obtenció de restes de micromamífers que ha proporcionat ossos indeterminats.

Riu Ripoll: nivell proper als dos anteriors mostrejat per a l'obtenció de restes de micromamífers. Ha lliurat els rosegadors *Hispanomys thaler*, *Myomimus dehmi* i *Progonomys* sp., l'últim dels quals permet situar el jaciment en el Vallesià superior (MN10).

Can Simeó: jaciment proper al pont de la carretera B-140 sobre el Ripoll que ha lliurat restes del rèptil *Cheirogaster* sp. i del rosegador *Myoglis meini*. Se li atribueix una edat que podria oscil·lar entre l'Aragonià superior i el Vallesià inferior (MN6-MN9).

Santiga I: situat a l'entorn de l'empresa PROVASA S.A. ha proporcionat restes de carnívors, perissodàctils, artiodàctils, proboscidis i el primat *Dryopithecus laietanus*. S'atribueix al Vallesià inferior (MN9b).

Santiga II: mostreig que ha proporcionat els rosegadors *Cricetulodon* cfr. *hartenbergeri*, *Muscardinus hispanicus*, *Eomuscardinus vallesiensis*, *Miodymys hamadryas*, i *Eomyops catalaunicus*, així com el lagomorf *Prolagus crusafonti*. Té la mateixa edat que l'anterior.

Afegim finalment que Ros i Palomar (1997) fan referència a un tercer molar superior de *Miotragocerus pannoniae* trobat al p.k. 1.5 de la carretera B-140 durant el seguiment d'unes obres de condicionament d'aquesta via.

12. ANNEX: RECULL DE PREMSA



Dos dels paleontòlegs treballen en les restes del dinoteri trobat a Can Roqueta II de Sabadell

Troben un dinoteri de fa 8 milions d'anys

Un equip de paleontòlegs ha localitzat restes òssies d'un dino-

teri —una espècie d'elefant— de fa uns 8 milions d'anys al

polígon industrial de Can Roqueta II de Sabadell. El dinoteri

és una espècie de la mateixa branca evolutiva de l'elefant que tenia tres metres d'alçada i unes defenses que sortien de la mandíbula. (Pàgina 26)

El 9 Nou, portada (24/5/00).

L'espècie trobada a Sabadell és de la mateixa branca evolutiva dels elefants

Apareixen restes d'un dinoteri de fa vuit milions d'anys a Can Roqueta II

SABADELL

Virtudes Pérez

Un equip de paleontòlegs, dirigit per Xavier Ros i Jordi Palomar, ha descobert restes òssies d'un dinoteri gegant de fa vuit milions d'anys al polígon industrial de Can Roqueta II de Sabadell. Es tracta d'una espècie de la mateixa branca evolutiva dels elefants –la pota feia tres metres d'alçada i tenia dues defenses que sortien de la mandíbula cap avall– de la qual només s'havien documentat fins ara, a la zona del Vallès, alguns cranis a l'orre-romeu i Santa Perpètua i ossos dispersos –dents i algunes vèrtebres– a Polinyà. **“És la primera vegada que trobem les dues extremitats anteriors pràcticament senceres i una extremitat posterior”**, remarca ahir Ros, que fins i tot va aventurar la possibilitat que durant la intervenció apareguin proves que demostrin que en lloc d'un són dos els dinoteris localitzats en aquest jaciment.

La troballa de l'esquelet es va produir el passat 20 de febrer durant el seguiment paleontològic de les obres d'aquest polígon de Sabadell, finançat per la Junta de Compensació de Can Roqueta II i coordinat pel director del Museu d'Història de Sabadell, Genís Ribé.

“Els primers ossos van aparèixer quan estaven rebaixant



Les restes del dinoteri es van trobar a Can Roqueta II el mes de febrer

el terreny de la parcel·la. De seguida es van aturar les màquines i vam començar a treballar”, explica Ros.

Des de llavors fins ara s'ha arribat a comptabilitzar fins a 200 peces de diferents mides, entre elles un fèmur de l'animal. **“La fossilització és bastant bona i permet treure peces molt senceres”**, subratlla Ros, qui confia que podran acabar l'excavació el 30 de juny. **“Vam començar dues persones i ara**

som nou les que treballem de dos quarts de vuit del matí a dos quarts de vuit del vespre”, precisa.

Tot i que fa tres mesos que es treballa en l'excavació de Can Roqueta II, la notícia no s'ha sabut fins ara en part per prudència. Les primeres nits es van produir alguns robatoris al jaciment que van obligar a posar un vigilant nocturn per evitar espoliacions.

Ros calcula que el dinoteri que

ha aparegut a Can Roqueta II és un dels últims que va viure al Vallès abans de l'extinció. **“A l'Àfrica van sobreviure fins al plistocè mitjà, però va desaparèixer molt abans. En aquest cas, segurament va morir més amunt i alguna pluja forta el va dipositar en aquest tálveg”**, explica Ros.

Un cop trets, els ossos d'aquest gran dinoteri es conservaran a l'Institut de Paleontologia Miquel Crusafont de Sabadell.

El 9 Nou, pàgines interiors (24/5/00).

SABADELL

Aparecen restos de dos dinoterios en Can Roqueta

Sabadell. – Los paleontólogos que trabajan en el yacimiento de Can Roqueta 2 de Sabadell han hallado restos óseos de ocho millones de años pertenecientes a dos dinoterios de grandes dimensiones, un mamífero extinguido de la rama evolutiva del elefante. El hallazgo es importante porque muestra por primera vez en el Vallès un esqueleto casi al completo: vértebras, costillas, mandíbula y extremidades. Hasta ahora se habían encontrado restos óseos aislados, en especial del cráneo, en otros yacimientos de la comarca, como Torre-romeu (Sabadell), Santa Perpètua de Mogoda y Polinyà.

Los dos dinoterios se encontraron en febrero, tras seis meses de excavaciones. Los paleontólogos han comenzado a extraer las piezas ya que las altas temperaturas son perjudiciales para su conservación. Los vestigios serán restaurados en un laboratorio y se guardarán en el Instituto Miquel Crusafont de Sabadell. – NURIA BERBERÍA

El Periódico, pàgines interiors (25/5/00).